

# Magnetický skin efekt vo vodivej feromagnetickej doske.

Bydžovský, J., Jahn, P.

## Úlohy.

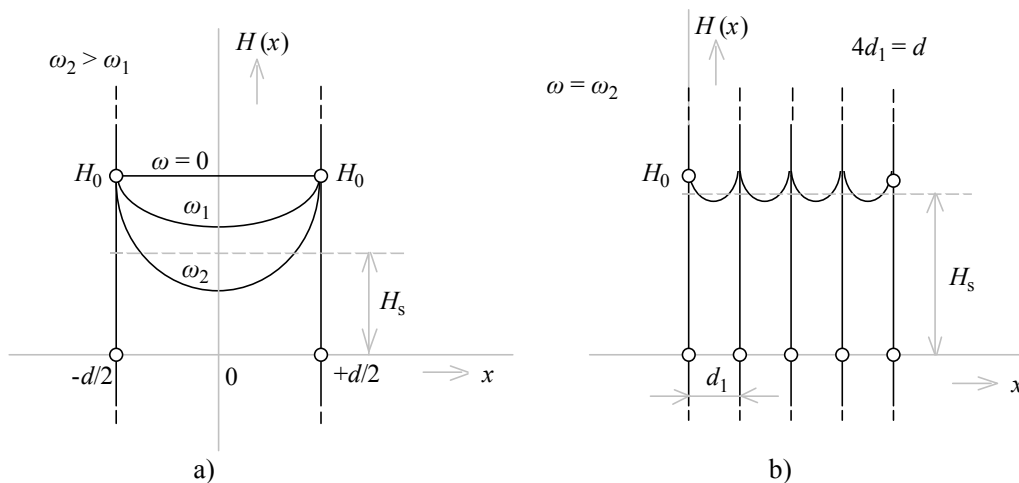
1. Na predloženej vzorke feromagnetického materiálu určite meraním permeabilitu pri harmonickej zmene intenzity magnetického poľa  $H(t)$  s amplitúdou  $H_m = 0,2 \text{ A/m}$  pri frekvencii  $f = 120 \text{ Hz}$ .
2. Vypočítajte hĺbku vniku  $\vartheta$  pri sieťovej frekvencii  $f = 50 \text{ Hz}$  a porovnajte ju s hrúbkou plechu.
3. Odmerajte závislosti veľkosti a fázy fázora strednej hodnoty magnetickej indukcie  $\mathcal{B}_s$  od frekvencie pri konštantnej hodnote amplitúdy intenzity magnetického poľa  $H_m = 0,2 \text{ A/m}$ . Z nameraných hodnôt nakreslite hodograf fázora  $\mathcal{B}_s$  v závislosti od frekvencie.
4. Vypočítajte veľkosť a fázu strednej hodnoty fázora magnetickej indukcie  $\mathcal{B}_s$  z teoretických vzťahov (pre frekvencie z predošlej úlohy) a porovnajte ich s výsledkami získanými experimentálne. Diskutujte ich prípadnú rozdielnosť.

## Analýza úlohy.

Ak do homogénneho stacionárneho magnetického poľa vložíme rozľahlú elektricky vodivú feromagnetickú dosku tak, aby povrch dosky bol rovnobežný s vektorom magnetickej indukcie  $\mathbf{B}$  resp. intenzity magnetického poľa  $\mathbf{H}$ , potom (za predpokladu malej hrúbky dosky voči jej ostatným rozmerom) bude magnetické pole v doske rozložené prakticky tiež homogénne (obr. 1a, parameter  $\omega = 0$ ). Pre intenzitu magnetického poľa  $\mathbf{H}$  na rozhraní dosky a okolitého prostredia platí zo zákona pre lom siločiar rovnosť tangenciálnych zložiek. Preto bude intenzita magnetického poľa  $\mathbf{H}$ , ktorá má na rozhraní len tangenciálnu zložku vo vnútri dosky rovnaká ako v jej okolitom prostredí (pôvodné homogénne magnetické pole). Súčasne platí, že magnetická indukcia  $\mathbf{B}$  v doske vzrastie  $\mu_r$ -krát oproti magnetickej indukcii vo vzduchu.

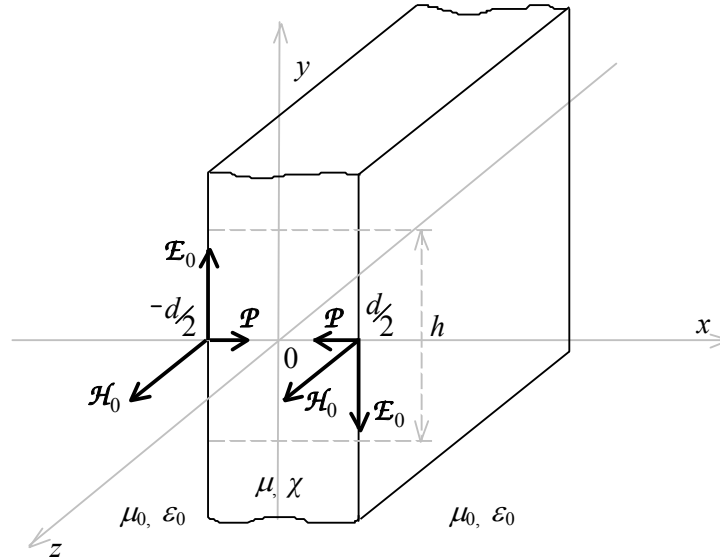
Pri časovej zmene magnetického poľa vzniknú vo vodivej doske indukované (vírivé) prúdy. Magnetické pole týchto vírivých prúdov ovplyvní pôvodné homogénne magnetické pole, čoho dôsledkom je výsledné nerovnomerné rozloženie magnetického poľa v doske. Toto nerovnomerné rozloženie sa javí ako "vytláčanie" magnetického poľa k povrchu dosky a nazývame ho magnetickým skin efektom. Pri konštantnej intenzite magnetického poľa  $H_0$  na povrchu dosky bude sa so zvyšovaním frekvencie jeho rozloženie v priereze dosky značne meniť (pozri  $H(x)$  pre parametre  $\omega_1, \omega_2$  na obr. 1a) a tým stredná hodnota  $H_s$  klesať.

Z hľadiska technickej praxe predstavuje magnetický skin efekt závažný problém. Nerovnomerné rozloženie magnetického poľa v doske spôsobuje nerovnomerné nasycovanie magnetickej obvodu, čo je potrebné uvážiť pri návrhu magnetickej obvodov. Snaha o potlačenie nepriaznivých účinkov uvedeného javu viedla pri magnetickej obvodov elektrických strojov a prístrojov k realizácii magnetickej obvodov poskladaním z tenkých izolovaných feromagnetických plechov (obr. 1b), alebo pre vyššie frekvencie použitím magnetickej materiálov s vysokým elektrickým odporom - ferity.



Obr. 1 Rozloženie amplitúdy intenzity magnetického poľa v priereze magnetickej dosky 1a, resp. v poskladanom zväzku o rovnakej celkovej hrúbke pri uhlovej frekvencii  $\omega_2$ .

Z teoretického hľadiska je problém rozloženia elektromagnetického poľa v nekonečne rozľahlej vodivej magnetickej doske (charakterizovanej permeabilitou  $\mu$  a vodivosťou  $\chi$ ) vložennej do homogénneho, harmonickeho poľa jedným zo známych analytických riešení [1]. Riešenie vychádza z predpokladu rovnakej intenzity magnetického poľa na oboch stranách dosky (vložennej do elektromagnetického poľa), ktorá je vyjadrená komplexným vektorom  $\mathcal{H}_0$ . Z dôvodov predstavy kolmého vniku rovinnej elektromagnetickej vlny do feromagnetika z oboch strán bude smer vektora intenzity elektrického poľa  $\mathcal{E}_0$  na protíľahlých stenách dosky opačného smeru (podľa obr. 2). Smer vniku rovinnej vlny je zhodný so smerom Poyntingových vektorov  $\mathcal{P}$ .



Obr. 2 Umiestnenie feromagnetickkej vodivej dosky v elektromagnetickom poli charakterizovanom komplexnými vektormi  $\mathcal{H}_0$ ,  $\mathcal{B}_0$  a  $\mathcal{P}$

Nech vektor intenzity magnetického poľa na povrchoch dosky ( t.j. pre  $x = \pm d/2$ ) má zložku len v smere osi  $z$  (obr. 2). Pre amplitúdu tohto vektora platí  $H_m = |\mathcal{H}_0|$ . Potom z riešenia vlnovej rovnice [2], [3] pre rozloženie  $z$  - ovej zložky fázora intenzity magnetického poľa (obr. 2) v doske dostávame

$$\mathcal{H}_z(x) = \mathcal{H}_0 \cdot \frac{\cosh \gamma x}{\cosh \gamma d/2} \quad (1)$$

kde  $\gamma$  je konštanta šírenia elektromagnetickej vlny v doske pre ktorú platí

$$\gamma = \sqrt{j\omega\mu\chi} \quad (2)$$

Mieru povrchového javu charakterizuje hĺbka vniku  $\mathcal{D}$ , ktorá je daná v prípade vodivého prostredia ( $\chi \gg \omega\epsilon$ ) vzťahom

$$\mathcal{D} = \sqrt{\frac{2}{\omega\mu\chi}} \quad (3)$$

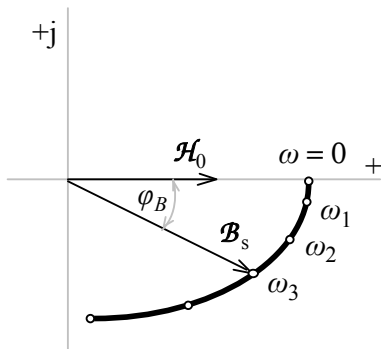
Hĺbka vniku je vzdialenosť od povrchu, pri ktorej klesnú amplitúdy vektorov intenzít elektrického a magnetického poľa na  $1/e$  násobok, t.j. na 36,8 % svojich hodnôt na povrchu. Čím bude pomer medzi hrúbkou dosky  $d$  a hĺbkou vniku  $\mathcal{D}$  väčší, tým bude vplyv magnetického resp. elektrického skinefektu vyšší. V dôsledku rastu frekvencie klesá veľkosť hĺbky vniku a tým klesá aj stredná hodnota magnetického toku v priereze dosky. Pre strednú hodnotu fázora magnetickej indukcie platí

$$\mathcal{B}_s = \frac{1}{d} \cdot \int_{-d/2}^{d/2} \mathcal{B}_z(x) \cdot dx = 2\mathcal{B}_0 \cdot \frac{\text{tgh}(\gamma d/2)}{\gamma d} = B_s \cdot e^{j\varphi_B} \quad (4)$$

kde  $\mathcal{B}_0$  je fázor magnetickej indukcie na povrchu dosky daný vzťahom

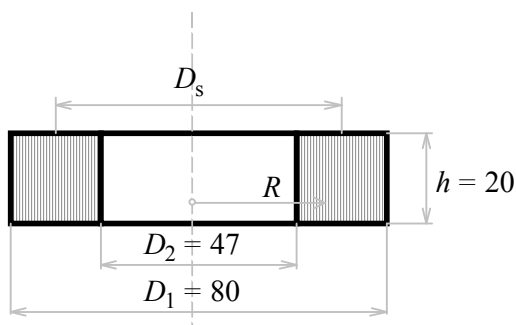
$$\mathcal{B}_0 = \mu \cdot \mathcal{H}_0 \quad (5)$$

a  $\mu$  je permeabilita feromagnetickkej vodivej dosky. Ak fázu fázora  $\mathcal{H}_0$  zvolíme rovnú nule, je hodograf frekvenčnej závislosti fázora  $\mathcal{B}_s$  (pre dané materiálové konštanty) daný vzťahom (4) znázornený na obr. 3.



Obr. 3 Hodograf frekvenčnej závislosti fázora strednej hodnoty indukcie  $\mathcal{B}_s$

Experimentálnu verifikáciu teoretickej závislosti strednej hodnoty fázora magnetickej indukcie  $\mathcal{B}_s$  od frekvencie môžeme s uvážením viacerých zjednodušení realizovať pomocou merania na prstencovej vzorke. Rozľahlú feromagnetickú dosku predstavuje izolovaný pás elektrotechnickej oceli  $\text{Fe}_{97}\text{Si}_3$  špirálovite stočený do prstenca (toroidu), ktorého rozmery sú na obr. 4. Pri hrúbke pásu  $d = 0,3$  mm je pomer hrúbky k jeho šírke  $d/h = 0,015$  a rozmer v smere vonkajšieho poľa  $\mathbf{H}_0$  môžeme považovať za neohraničený. Vonkajšie pole  $\mathbf{H}_0$  vytvoríme pomocou budiaceho vinutia s počtom závitov  $N_1$ , rovnomerne rozložených po obvode prstencovej vzorky. Veľkosť fázora strednej hodnoty magnetickej indukcie  $\mathcal{B}_s$  určíme z merania indukovaného napätia  $U_i$ , ktoré sa indukuje v snímacích závitoch s počtom  $N_2$  navinutých okolo prstenca.



Obr. 4 Prstencová vzorka feromagnetického materiálu

Efektívna hodnota harmonického indukovaného napätia je daná vzťahom

$$U_i = 4,44 \cdot f \cdot N_2 \cdot S \cdot B_s \quad (6)$$

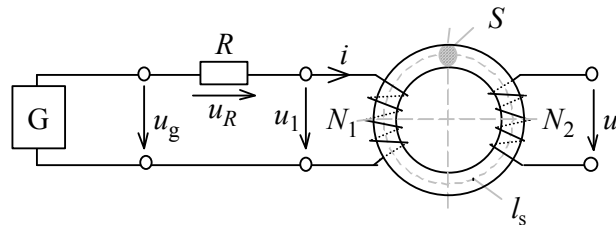
kde  $S$  je prierez feromagnetického prstenca a  $f$  je frekvencia harmonickej intenzity magnetického poľa. Aby hodnota indukovaného napätia v snímacích závitoch bola dostatočne vysoká, je špirálovite navinutých viacero vrstiev oceľového pásu. Tým ale každý prsteneček s rôznym polomerom  $R$  má rôznu hodnotu intenzity magnetického poľa  $H_0$  na jeho povrchoch. Získaná hodnota indukovaného napätia je preto ustrednenou hodnotou príspevkov individuálnych prstencov. Ustrednenie z hľadiska intenzity magnetického poľa na povrchoch individuálnych prstencov zohľadníme zavedením tzv. "strednej dĺžky siločiar" pri výpočte amplitúdy strednej hodnoty intenzity magnetického poľa podľa vzťahu

$$H_0 = \frac{N_1 \cdot I_m}{l_s} = \frac{\sqrt{2} N_1 \cdot I}{l_s} \quad (7)$$

kde  $l_s = \pi \cdot D_s$  je stredná dĺžka siločiar,  $D_s = (D_1 + D_2)/2$ ,  $N_1$  je počet závitov magnetujúceho vinutia a  $I_m$  je maximálna hodnota magnetujúceho prúdu. Aby boli obidva časové priebehy  $H(t)$  a  $B(t)$  harmonické (predpoklad teoretického riešenia je  $\mu = \text{konšt.}$ ), musí byť feromagnetický materiál magnetovaný v oblasti veľmi nízkych magnetických polí, kde môžeme závislosť  $B = f(H)$ , ktorá je vo všeobecnosti nelineárna, považovať za lineárnu, t.j.  $B = \mu H$ .

### Postup pri meraní.

Schéma zapojenia je uvedená na obr. 5. Prstencová vzorka (toroid) navinutá z izolovaného pásu elektrotechnickej oceli je ovinutá magnetujúcim vinutím, rovnomerne rozloženým po celom obvode vzorky, s počtom závitov  $N_1$  a snímacím vinutím s počtom závitov  $N_2$ . Zdrojom harmonického magnetujúceho prúdu  $i$  je generátor G harmonického napätia s možnosťou regulácie veľkosti napätia  $u_g$  a frekvencie  $f$ . Pomocou voltmetra máme možnosť merať efektívne hodnoty napätí  $U_g$ ,  $U_R$ ,  $U_1$  a  $U_i$ .



Obr. 5 Schéma zapojenia. Počet magnetujúcich závitov  $N_1 = 32$ , počet snímacích závitov  $N_2 = 161$ , hodnota snímacieho odporu  $R = 57,41 \Omega$ , hodnota odporu magnetujúceho vinutia  $R_{N_1} = 0,7 \Omega$ .

Pri meraní postupujeme nasledovne:

1. Na určenie magnetickej permeability  $\mu$  (podľa úlohy 1) pri frekvencii  $f = 120$  Hz a intenzite magnetického poľa  $H_0 = 0,2$  A/m nastavíme na generátore zvolenú frekvenciu  $f$  a zmenou napätia  $U_g$  nastavíme magnetizačný prúd  $I$  na takú hodnotu, ktorá odpovedá zvolenej intenzite magnetického poľa  $H_0$ . Pretože veľkosť prúdu  $I$  určujeme meraním napätia na odpore  $R = 57,41 \Omega$ , je napätie  $U_R$  odpovedajúce zvolenej intenzite magnetického poľa  $H_0$  dané vzťahom

$$U_R = I \cdot R = \frac{l_s \cdot H_0}{N_1 \cdot \sqrt{2}} \cdot R \quad (8)$$

Túto hodnotu  $U_R$  udržiavame konštantnú zmenou výstupného napätia  $U_g$  pri každej frekvencii.

2. Pri danej hodnote napätia  $U_R$  a frekvencii  $f = 120$  Hz odmeriame veľkosť indukovaného napätia  $U_i$  a vypočítame hodnotu magnetickej permeability  $\mu$ , definovanej ako pomer amplitúd strednej hodnoty magnetickej indukcie a intenzity magnetického poľa na povrchu zo vzťahu

$$\mu = \frac{B_s}{H_0} = \frac{U_i}{4,44 \cdot f \cdot N_2 \cdot S \cdot H_0} \quad (9)$$

kde  $S = h \cdot (D_1 - D_2)/2$  je prierez toroidálnej vzorky (obr. 4), keď sme zanedbali vplyv hrúbky izolácie medzi jednotlivými vrstvami navinutej pásovej elektrotechnickej oceli.

3. Pri meraní frekvenčnej závislosti podľa úlohy 3 postupujeme tak, že postupne zvyšujeme frekvenciu generátora na najbližšiu vyššiu hodnotu (z doporučeného radu frekvencií 120, 200, 500, 750, 1000, 1300, 1600, 2200, 3000, 4000, 5000, 6000, 8000, 10 000 Hz). Pre každú z požadovaných hodnôt frekvencií nastavíme opäť vypočítanú hodnotu napätia  $U_R$  a zmeriame napätia  $U_i$  a  $U_g$ . Pri nastavovaní napätia  $U_R$  (pri každej frekvencii) postupujeme citlivo, aby nedošlo k prekročeniu hodnoty  $H_0 = 0,2$  A/m. Veľké zmeny magnetujúceho prúdu spôsobia v dôsledku nelinearity a hysterézie magnetizačného procesu zmenu magnetického stavu vzorky, ktorá bola pred vlastným meraním odmagnetovaná, a tým aj zmenu permeability

pri rovnakej intenzite magnetického poľa na povrchu. Meranie opakujeme pre všetky doporučené frekvencie, hodnoty napätí  $U_i$  a  $U_g$  zaznamenáme do tabuľky.

### Spracovanie výsledkov

Hodnoty veľkosti  $B_s$  a fázy  $\varphi_B$  fázora strednej hodnoty magnetickej indukcie  $\mathcal{B}_s$ , ktorá je v teoretickom úvode udávaná ako integrálna veličina, prezentujúca rozloženie magnetickej indukcie elektromagnetickej vlny vo feromagnetiku, môžeme vypočítať pre rôzne uhlové frekvencie  $\omega$  podľa vzťahu (4), ak poznáme potrebné materiálové konštanty  $\chi$  a  $\mu$ , ktoré vystupujú vo vzťahu pre konštantu šírenia  $\gamma$ . Elektrická vodivosť materiálu vzorky  $\chi$ , ktorou je zliatina FeSi, je  $\chi = 3,3 \cdot 10^6$  S/m. Keďže pri frekvencii  $f = 120$  Hz je fázor magnetickej indukcie  $\mathcal{B}_s$  prakticky vo fáze s fázorom  $\mathcal{B}_0$  ( $\varphi_B = 0$ ), budeme hodnotu permeability  $\mu$  získanú experimentálne (danú vzťahom (9)) pri frekvencii  $f = 120$  Hz považovať za materiálovú konštantu  $\mu$  vystupujúcu vo vzťahoch pre fázor  $\mathcal{B}_s$ , nezávislú na zmene frekvencie.

Experimentálne určenie fázora strednej hodnoty magnetickej indukcie  $\mathcal{B}_s$  urobíme nasledovne: Veľkosť fázora strednej hodnoty magnetickej indukcie  $B_s$  určíme pre každú zvolenú frekvenciu z nameraných efektívnych hodnôt indukovaného napätia  $U_i$  využitím vzťahu (6) v tvare:

$$B_s = \frac{U_i}{4,44 \cdot f \cdot N_2 \cdot S} \quad (11)$$

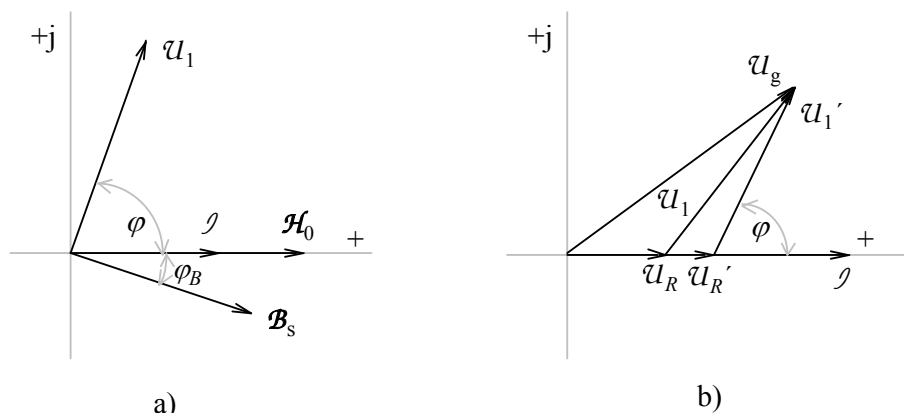
Fázový posuv  $\varphi_B$  medzi fázormi  $\mathcal{B}_s$  a  $\mathcal{H}_0$  (obr. 6a) určíme na základe merania fázového posuvu  $\varphi$  medzi fázorom napätia  $\mathcal{U}_1$ , (keďže pre fázory platí  $\mathcal{U}_1 \sim j\mathcal{B}_s$ ) a fázorom budiaceho prúdu  $\mathcal{I}$ , pričom ich vzájomný vzťah je zrejmý z fázorového diagramu na obr. 6a. Na určenie fázového posuvu  $\varphi$  môžeme využiť tzv. metódu merania troch napätí. Ako vyplýva z obr. 5 pre fázory napätí  $\mathcal{U}_g$ ,  $\mathcal{U}_R$  a  $\mathcal{U}_1$  platí:

$$\mathcal{U}_g = \mathcal{U}_R + \mathcal{U}_1 \quad (12)$$

Fázor napätia  $\mathcal{U}_1$  však nie je presne vo fáze s fázorom indukovaného napätia  $\mathcal{U}_i$  z dôvodu nenulového odporu vinutia  $N_1$  magnetujúcej cievky. V prípade našej vzorky je hodnota odporu magnetujúcej cievky  $R_{N_1} = 0,7 \Omega$ . Zavedením fázorov  $\mathcal{U}_1'$  a  $\mathcal{U}_R'$ , ktorých fázorový diagram je na obr. 6b ako

$$\mathcal{U}_1' = \frac{N_1}{N_2} \cdot \mathcal{U}_i \quad \text{a} \quad \mathcal{U}_R' = \mathcal{U}_R + \mathcal{I} \cdot R_{N_1} \quad (13)$$

môžeme na určenie fázy  $\varphi$  využiť trojuholník napätí  $U_g$ ,  $U_1'$ ,  $U_R'$ , čím vylúčime chybu merania vplyvom úbytku napätia na odpore magnetujúcej cievky.



Obr. 6

Uhol  $\varphi$  (obr. 6b) určíme z kosínusovej vety

$$\cos \varphi = \frac{U_g^2 - U_R'^2 - U_1'^2}{2 \cdot U_R' \cdot U_1'} \quad (14)$$

kde pre napätia platí:

$$U_R' = U_R \cdot \left[ 1 + \frac{R_{N_1}}{R} \right] \quad \text{a} \quad U_1' = \frac{N_1}{N_2} \cdot U_i \quad (15)$$

Keďže (ako vidno z obr. 6b) platí  $\varphi_B + \varphi = \pi/2$ , dostávame vzťah pre fázové oneskorenie  $\varphi_B$  fázora strednej hodnoty indukcie  $\mathcal{B}_s$  za fázorom intenzity magnetického poľa na povrchu  $\mathcal{H}_0$

$$\varphi_B = \varphi - \pi/2 \quad (16)$$

### Tabuľka nameraných a vypočítaných hodnôt

$H_0 = 0,2 \text{ A/m}$        $U_R [\text{mV}] =$        $\mu [\text{H/m}] =$

experimentálne výsledky							teoret. hodnoty	
hodnoty namerané			hodnoty vypočítané				(vypočítané)	
$f$ [Hz]	$U_g$ [mV]	$U_i$ [mV]	$U_R'$ [mV]	$U_1'$ [mV]	$B_s$ [mT]	$\varphi_B$ [°]	$B_s$ [mT]	$\varphi_B$ [°]

## Dodatok

Vzťah pre výpočet intenzity magnetického poľa vo vzorke ktorá má tvar prstenca, tzv. uzatvorený magnetický obvod, získame pomocou "zákona prietoku"

$$\oint \mathbf{H} \cdot d\mathbf{r} = \sum i = N \cdot i \quad (1)$$

ktorý vyplýva (použitím Stokesovej vety) z prvej Maxwellovej rovnice, ktorá v prípade  $\chi \gg \omega\epsilon$  má tvar

$$\text{rot} \mathbf{H} = \mathbf{J} \quad (2)$$

Ak integráciu po uzatvorenej dráhe uskutočníme po kružnici o polomere  $R_0$ , potom v prípade prstencovej vzorky bude mať dráhový element  $d\mathbf{r}$  vždy rovnaký smer ako vektor  $\mathbf{H}$  a teda platí

$$2\pi R_0 \cdot H(t) = N_1 i(t) \quad (3)$$

kde  $N_1$  je počet závitov magnetujúcej cievky. Z uvedeného vyplýva, že intenzita magnetického poľa v prstenci narastá od vonkajšieho priemeru prstenca k priemeru vnútornému. Stredná hodnota intenzity mag. poľa je potom definovaná pre "strednú dĺžku"  $l_s = \pi D_s$ , ak  $D_1/D_2 < 1,4$ .

Indukované napätie v snímacom vinutí  $N_2$  pri ľubovoľnom periodickom spôsobe magnetovania nemá jednosmernú zložku, takže platí

$$\int_0^T |u_i(t)| dt = 2\Delta\psi_s = 2(\psi_{s\max} - \psi_{s\min}) \quad (4)$$

kde  $\psi_{s\max}$  je maximálna hodnota stredného viazaného magnetického toku a  $\psi_{s\min}$  jeho minimálna hodnota. Stredná hodnota indukovaného napätia je definovaná vzťahom

$$U_{is} = \frac{1}{T} \int_0^T |u_i(t)| dt \quad (5)$$

a teda

$$\Delta\psi_s = \frac{U_{is} \cdot T}{2} \quad (6)$$

V prípade symetrického magnetovania, keď  $\psi_{s\max} = -\psi_{s\min}$  a teda  $\Delta\psi_s = 2 \cdot \psi_{sm}$ , dostávame pre amplitúdu strednej hodnoty viazaného magnetického toku

$$\psi_{sm} = \frac{U_{is}}{4f} \quad (7)$$

a pri harmonickej zmene magnetického toku, tým aj indukovaného napätia, platí pre efektívnu hodnotu indukovaného napätia vzťah

$$U_i = \frac{\pi}{2\sqrt{2}} \cdot U_{is} = 4,44 \cdot f \cdot \psi_{sm} = 4,44 \cdot f \cdot N_2 \cdot S \cdot B_{sm} \quad (8)$$

## Literatúra:

- [1] Šumichrast, L., Gonda, P., Kollár, M., Jasenek, J.: Teória elektromagnetického poľa. Zbierka riešených príkladov. Alfa, Vydavateľstvo technickej a ekonomickej literatúry, Bratislava, 1985
- [2] Haňka, L.: Teorie elektromagnetického pole, SNTL Praha, 1982
- [3] Benda, O.: Teoretická elektrotechnika III., skriptá ES SVŠT Bratislava, 1963